

東北大学大学院 学生員 佐藤 功  
東北大学大学院 学生員 田中 仁  
東北大学工学部 正会員 香取伸夫

### 1.はじめに

波のみ、あるいは流れのみの場における砂連については、多くの研究が発表されているが、波・流れ共存場における砂連については、幾つかの研究を数えるのみである。本研究においては、波・流れ共存場において形成される定常的な砂連の実験を行ない、砂連のスケール、砂の舞い上がり高さ等について考察した。

### 2.実験装置、及び実験方法

水路は幅30cm、深さ30cm、長さ7mで、側壁はグラス張りになり、側面から砂連の形状を観察することができる。水路の下流端にフラップ式造波機を取り付け、水深11~17cm、流速0~30cm/secの流れに、周期0.83、0.97、1.18、1.25sec、波高3~7cm程度の波を逆行させた。砂の諸元は、 $d_{50} = 0.40\text{mm}$ 、均等係数1.8、密度2.72g/cm<sup>3</sup>であり、これは水路上流部6m間に、厚さ4cmで敷いた。実験で得た、波の反射率は12%以下におさえた。平均的なスケールの砂連の波高が時間的に変化しなくなった時をもって、定常状態に達したと判断した。また、水路上流端部の砂止めから生ずる擾乱によつて発生した渕床変形、及び部分重複的効果が大きく影響して発達した砂連は、データ整理の際に除外した。

### 3.結果と考察

#### (1)砂移動限界とシートフロー発生限界

実験結果を図1に示す。ここに、底面摩擦の著者ら<sup>1)</sup>の理論により、相当粗度としては中央粒径を用いた。実験条件は、確かに砂移動限界を越えており、砂連が消滅する領域には入っていない。

#### (2)砂連の非対称性と渕の発生

砂連の形状に関する従来の研究によれば、定常流においては、上流側余裕はゆるく、下流側は水中安息角に等しくなると言われる。また、波運動場においては、ほぼ対称的な形態を有するとされている。そこで共存時の砂連の対称性を調べるために、 $\alpha/\lambda$ と $U_c/U_w$ との関係を描いた(図2)。ここに、 $U_c$ : 定常流成分の断面平均流速、 $U_w$ : 搪撓流成分の底面水粒子速度の振幅である。 $\alpha/\lambda$ は、流れと波の相対的強度を表わしている。 $\alpha/\lambda$ と $U_c/U_w$ が0~1.5の範囲までは増加するが、1.5以上になると、比較的安定する。そして、 $U_c/U_w = \infty$  (流れのみ) で  $\alpha/\lambda = 0.78$  となる。

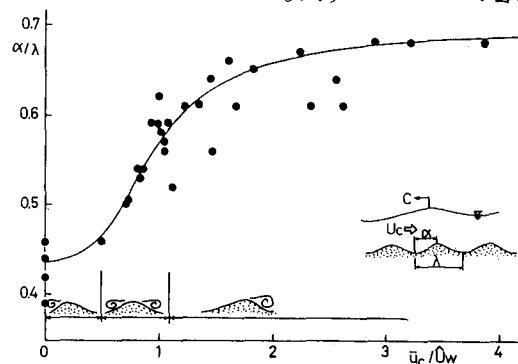
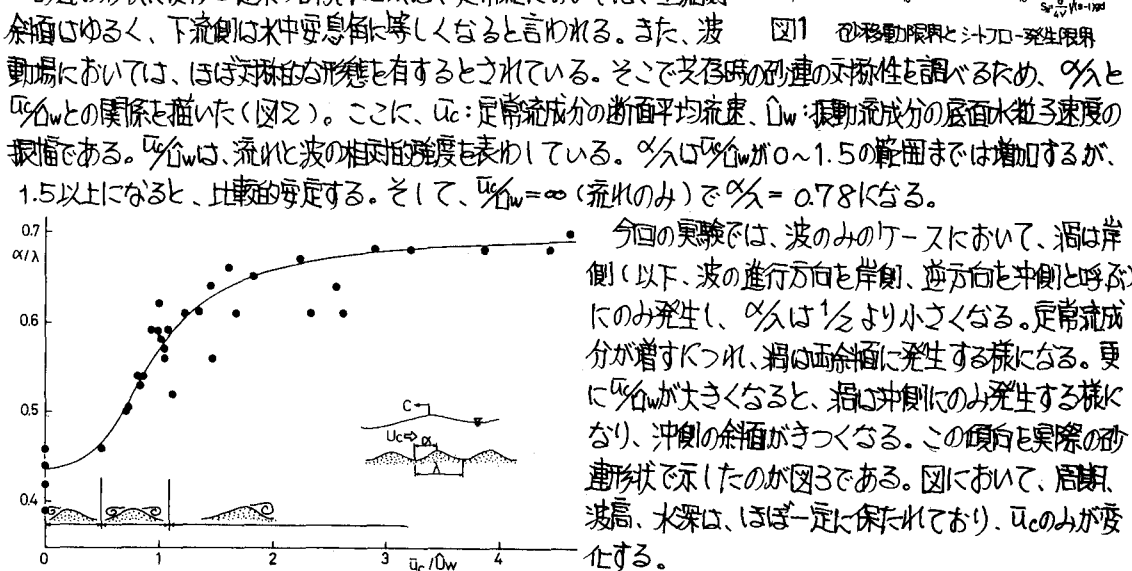


図2 砂連の非対称性



今回の実験では、波のみのケースにおいて、渕は岸側(以下、波の進行方向を岸側、逆方向を沖側と呼ぶ)にのみ発生し、 $\alpha/\lambda$ は $U_c/U_w$ より小さくなる。定常流成分が増すにつれ、渕は両斜面に発生する様になる。更に $U_c/U_w$ が大きくなると、渕は沖側のみ発生する様になり、沖側の斜面がうつくなる。この傾向を実際の砂連形状で示したのが図3である。図において、周期、波高、水深は、ほぼ一定に保たれており、 $U_c/U_w$ のみが変化する。

渕か砂連の両側に発生する範囲は、図2に示す様に

$\eta_{dw}$ が0.5~1.1であるが、これが $\eta_{dw}$ の増加と共に $\eta_c$ が増加する領域に入っていることは、興味深いところである。

### (3)砂の舞い上がり高さ

砂の舞い上がり高さについて検討したのが、図4である。図中で、 $\Delta H$ :砂の舞い上がり高さ、 $g'$ : $(\rho_s - \rho_w) \cdot g / \rho_w$ 、 $\bar{U}_c$ :著者ら<sup>2)</sup>の提案した底面付近の流速分布を考慮した、定常流成分についての代表流速である。 $\Delta H$ は、モータードライスカメラ、及び目視により求め、沖側に渦が発生する場合のみ示した。パラメタは、砂連顶部から放出される砂粒子のエネルギー保存則を考慮して定めた。

図中の数字は、 $\tan \theta$ を表わしているが、この値の大きいもの程、 $\Delta H$ が大きくなる傾向にあるものの、データのはらつきが大きく、確かな事は言えない様である。

### (4)砂連スケールの無次元表示

本間ら<sup>3)</sup>は、波によって形成される砂連のスケールを、 $d_s \sim d_0$ 、 $d_s \sim U_w \cdot d_s$ で表わした。ここに、 $d_0$ :ボテンシャル理論で与えられる底面水粒子の移動距離である。著者ら<sup>2)</sup>は、かつて、このパラメタを共存時に拡張して検討した。即ち、 $d_s \sim d_0$ 、 $d_s \sim U_w \cdot d_s$ を用いた。これに、 $d_0$ :底面付近の流速成分を考慮した水粒子移動距離である。図5、図6にその結果を示す。図中の直線は、本間らの提案した実験式を表わす。

両図で、本実験の波のみを示すと共存時の実験結果がほぼ一致している。さて、従来の波のみの場合における $d_0$ 、 $\bar{U}_w$ を共存場に拡張した $d_0$ 、 $\bar{U}_w$ に置き換えることにより、砂連のスケールを無次元化することができる。なお、 $\eta_{dw} > 3$ のケースについては、 $d_0$ の計算が不能になるので、今後さらに、適切な無次元パラメタの検討を進めていく必要がある。

## 4. おわりに

今回の実験では、実験装置の制約から条件が限られたものになってしまった。今後、実験装置を改良し、より広範囲に渡る実験を進めて行きたい。

### <<謝辞>>

この研究には、文部省科学研究費(代表者・東工大 日野敬義)によて行われたものであり、ここに謝意を表す。

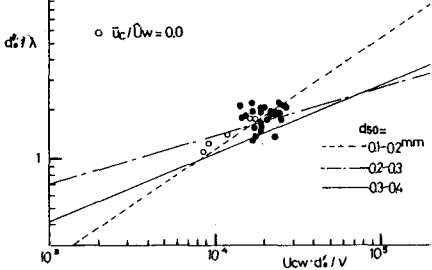


図6 砂連スケールの無次元表示(2)

### <<参考文献>>

- 1) 田中、首藤. 第27回国講論文集(1980)
- 2) 田中、首藤. 第36回国講論文集(1981)
- 3) 本間、堀川、鹿島. 第11回国講論文集(1964)

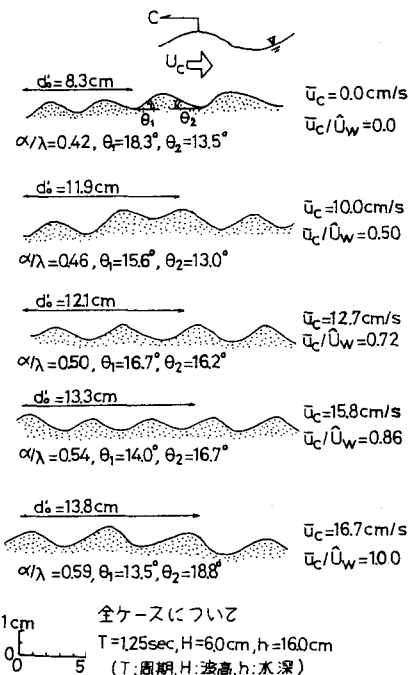


図3 砂連の形状変化

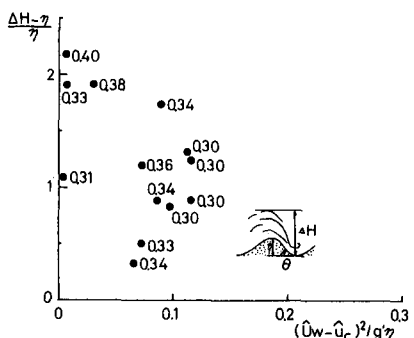


図4 砂の舞い上がり高さ

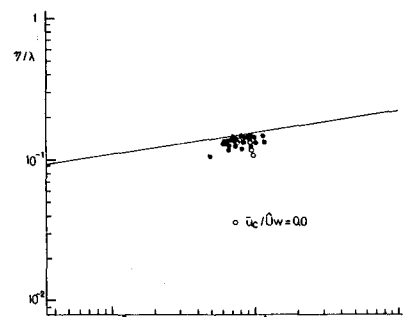


図5 砂連スケールの無次元表示(1)